

# CAPÍTULO 9 – SISTEMAS DE POTÊNCIA A GÁS

DISCIPLINA: TERMODINÂMICA II

PROF. DR. SANTIAGO DEL RIO OLIVEIRA

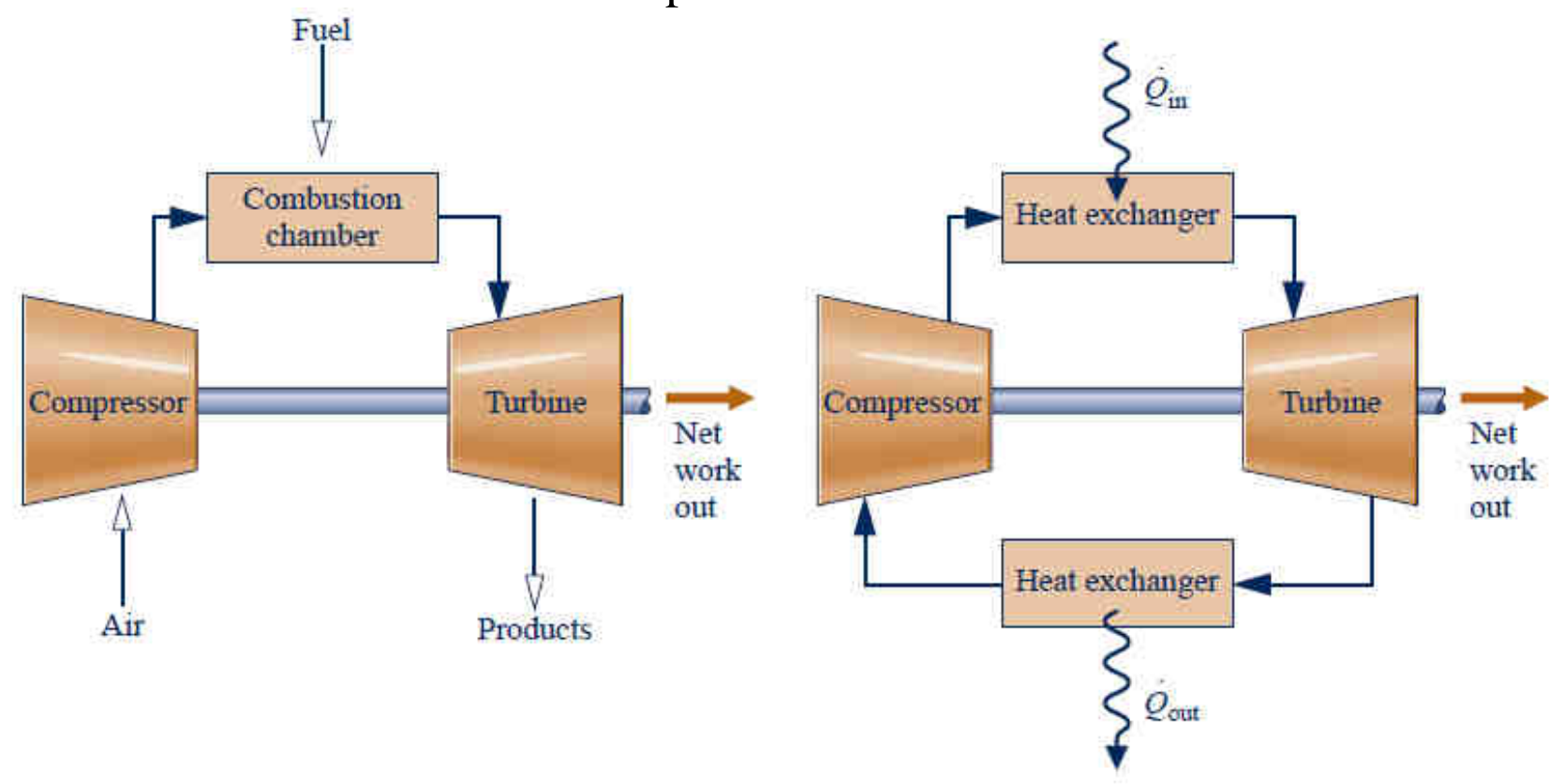
# INSTALAÇÕES DE POTÊNCIA COM TURBINAS A GÁS

- Turbinas a gás são mais leves e mais compactas que as instalações de potência a vapor. A relação favorável (potência de saída/peso) as torna adequadas para aplicações em transportes (propulsão de aeronaves, transporte marítimo, etc.).
- Utilizam como combustível gás natural, propano, gases produzidos em aterros e estações de esgoto, gases oriundos de resíduos de animais e o singás.

# 9.5 MODELANDO INSTALAÇÕES DE POTÊNCIA COM TURBINAS A GÁS

• Modo aberto: ar entra num compressor onde é comprimido até uma pressão mais elevada. O ar entra em uma câmara de combustão, onde é misturado com combustível, e a combustão ocorre, resultando em produtos de combustão a uma temperatura elevada. Os produtos de combustão se expandem através da turbina e são descarregados na vizinhança.

• Modo fechado: o fluido de trabalho recebe energia por transferência de calor e o gás que deixa a turbina passa através de um trocador de calor, onde é resfriado antes de entrar no compressor.

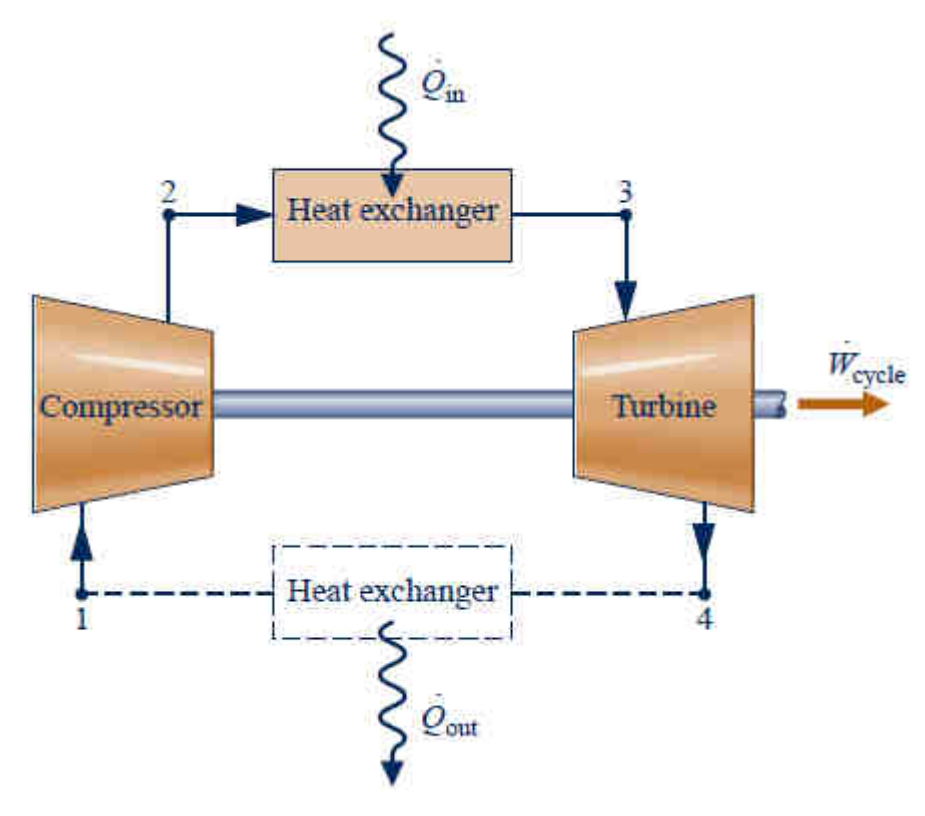


Turbina a gás. (a) Aberta para a atmosfera. (b) Fechada.

- Será utilizada a idealização da análise de ar-padrão:
  - 1. O fluido de trabalho é o ar, considerado um gás ideal.
  - 2. O aumento de temperatura resultante da combustão é realizado através de uma transferência de calor de uma fonte externa.

#### 9.6 CICLO DE AR-PADRÃO BRAYTON

- O ar entra no compressor no estado 1 a partir das vizinhanças e retorna para as vizinhanças no estado 4 com uma temperatura maior do que a temperatura ambiente.
- Após interagir com as vizinhanças, o ar descarregado retorna ao estado do ar que entra no compressor.
- Isso pode ser idealizado como uma transferência de calor do fluido de trabalho para as vizinhanças.



• O ciclo resultante dessa idealização é chamado de ciclo de ar-padrão Brayton.

## 9.6.1 Calculando as transferências de calor e trabalho principais

• Em regime permanente, desprezando variações de energia cinética e potencial e considerando a turbina e o compressor adiabáticos tem-se que:

Trabalho produzido no ciclo por unidade de massa:  $\frac{\dot{W}_t}{\dot{m}} = h_3 - h_4$ 

$$\frac{\dot{W}_t}{\dot{m}} = h_3 - h_4$$

Trabalho consumido no ciclo por unidade de massa:  $\frac{\dot{W_c}}{\dot{m}} = h_2 - h_1$ 

$$\frac{\dot{W}_c}{\dot{m}} = h_2 - h_1$$

Calor adicionado ao ciclo por unidade de massa:  $\frac{\dot{Q}_{ent}}{\dot{m}} = h_3 - h_2$ 

$$\frac{\dot{Q}_{ent}}{\dot{m}} = h_3 - h_2$$

Calor rejeitado do ciclo por unidade de massa:  $\frac{Q_{sai}}{\dot{m}} = h_4 - h_1$ 

$$: \frac{\dot{Q}_{sai}}{\dot{m}} = h_4 - h_1$$

• Eficiência térmica:  $\eta = \frac{\dot{W_t}/\dot{m} - \dot{W_c}/\dot{m}}{\dot{Q}_{ent}/\dot{m}} = \frac{(h_3 - h_4) - (h_2 - h_1)}{h_3 - h_2}$ 

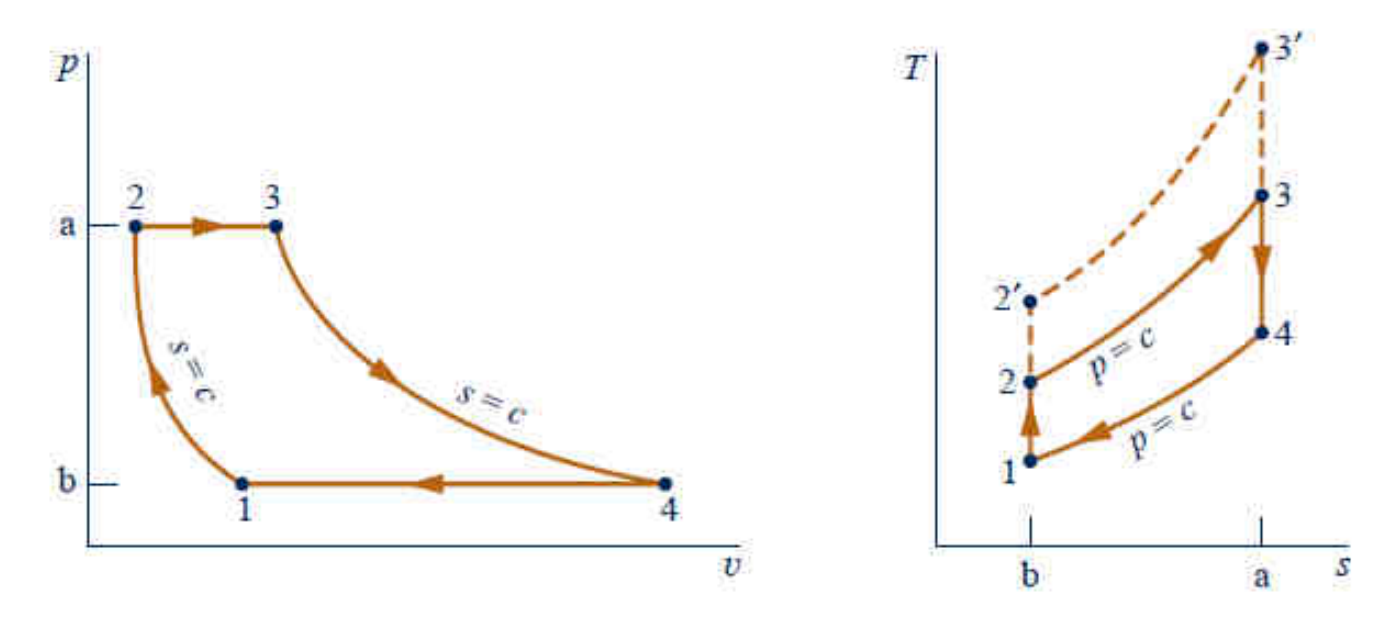
• Razão de trabalho reverso: bwr =  $\frac{\dot{W}_c/\dot{m}}{\dot{W}_t/\dot{m}} = \frac{h_2 - h_1}{h_3 - h_4}$ 

- Para turbinas a gás, bwr varia de 40 a 80 % enquanto em instalações de turbina a vapor, bwr varia de 1 a 2 %.
- As Tabelas A.22 ou A.22E podem ser utilizadas para a obtenção das entalpias específicas (calores específicos variáveis).
- Considerando calores específicos constantes, a análise de ar-padrão é chamada de análise de ar-padrão frio (análise simplificada e mais rápida).

#### 9.6.2 Ciclo de ar-padrão ideal Brayton

• Nos trocadores de calor não há perda de carga por atrito e o ar escoa à pressão constante.

• Os processos no compressor e turbina são isoentrópicos.



• Diagrama p-v:

Área 1-2-a-b-1: trabalho fornecido ao compressor por unidade de massa. Área 3-4-b-a-3: trabalho produzido na turbina por unidade de massa: (Área 1-2-a-b-1) – (Área 3-4-b-a-3) = Área 1-2-3-4 (trabalho líquido produzido) • Diagrama T - s:

Área 2-3-a-b-2: calor adicionado por unidade de massa. Área 1-4-a-b-1: calor rejeitado por unidade de massa. (Área 2-3-a-b-2) – (Área 1-4-a-b-1) = Área 1-2-3-4 (calor líquido adicionado)

• Para um ciclo Brayton ideal (processos isoentrópicos 1-2 e 3-4) tem-se para uma análise de ar-padrão (Tabela A.22):

$$\frac{p_{r2}}{p_{r1}} = \frac{p_2}{p_1}$$
 e  $\frac{p_{r4}}{p_{r3}} = \frac{p_4}{p_3} = \frac{p_1}{p_2}$ 

• Para uma análise de ar-padrão frio tem-se:

$$T_2 = T_1 \left(\frac{p_2}{p_1}\right)^{(k-1)/k} \qquad T_4 = T_3 \left(\frac{p_4}{p_3}\right)^{(k-1)/k} = T_3 \left(\frac{p_1}{p_2}\right)^{(k-1)/k}$$

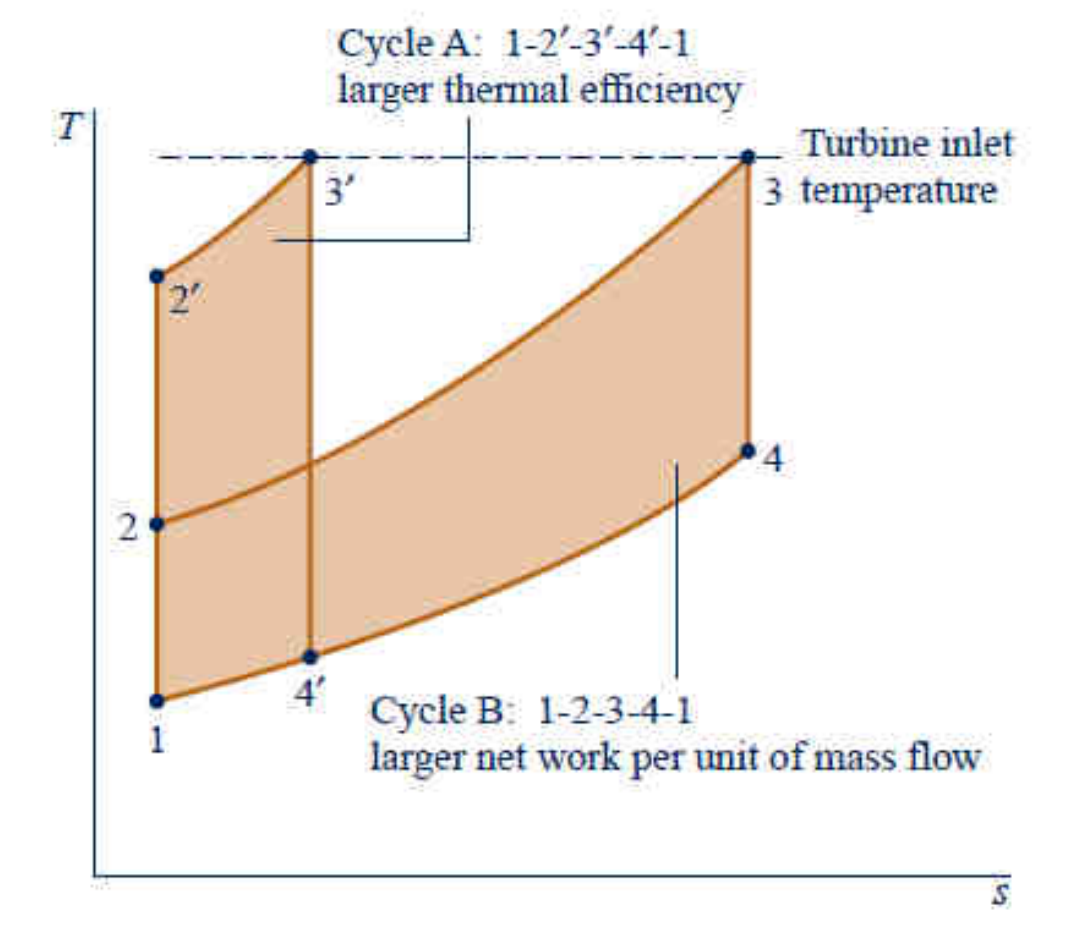
#### 9.6.3 Efeitos da relação de compressão sobre o desempenho

• A eficiência térmica aumenta com o aumento da relação de compressão no compressor. Para  $c_p$  e k constantes, a expressão da eficiência térmica fica:

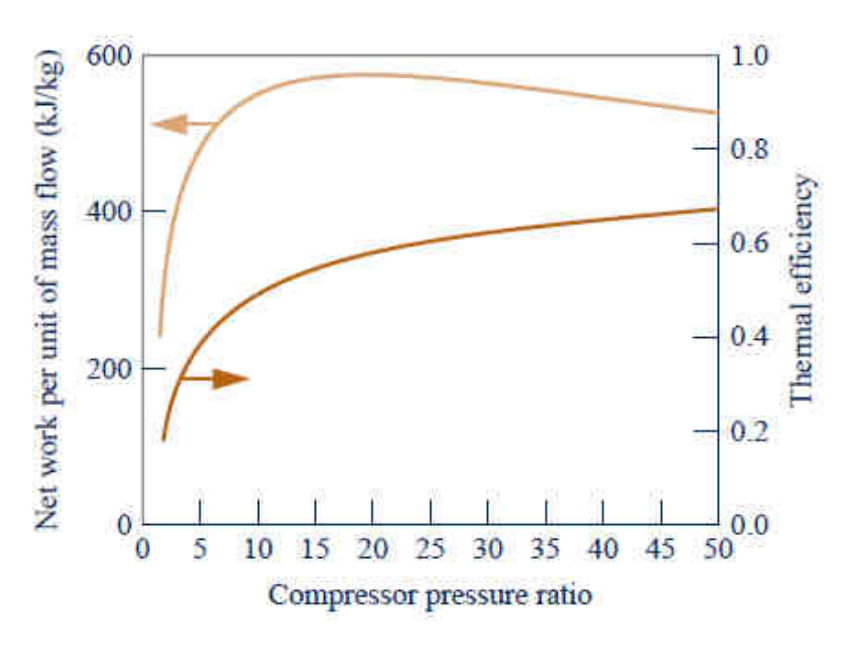
$$\eta = \frac{c_p(T_3 - T_4) - c_p(T_2 - T_1)}{c_p(T_3 - T_2)} = 1 - \frac{(T_4 - T_1)}{(T_3 - T_2)} = 1 - \frac{T_1}{T_2} \left(\frac{T_4/T_1 - 1}{T_3/T_2 - 1}\right)_{T_4/T_1 = T_3/T_2} = 1 - \frac{T_1}{T_2} \left(\frac{T_4/T_1 - 1}{T_3/T_2 - 1}\right)_{T_4/T_1 = T_3/T_2} = 1 - \frac{T_1}{T_2} \left(\frac{T_4/T_1 - 1}{T_3/T_2 - 1}\right)_{T_4/T_1 = T_3/T_2} = 1 - \frac{T_1}{T_2} \left(\frac{T_4/T_1 - 1}{T_3/T_2 - 1}\right)_{T_4/T_1 = T_3/T_2} = 1 - \frac{T_1}{T_2} \left(\frac{T_4/T_1 - 1}{T_3/T_2 - 1}\right)_{T_4/T_1 = T_3/T_2} = 1 - \frac{T_1}{T_2} \left(\frac{T_4/T_1 - 1}{T_3/T_2 - 1}\right)_{T_4/T_1 = T_3/T_2} = 1 - \frac{T_1}{T_2} \left(\frac{T_4/T_1 - 1}{T_3/T_2 - 1}\right)_{T_4/T_1 = T_3/T_2} = 1 - \frac{T_1}{T_2} \left(\frac{T_4/T_1 - 1}{T_3/T_2 - 1}\right)_{T_4/T_1 = T_3/T_2} = 1 - \frac{T_1}{T_2} \left(\frac{T_4/T_1 - 1}{T_3/T_2 - 1}\right)_{T_4/T_1 = T_3/T_2} = 1 - \frac{T_1}{T_2} \left(\frac{T_4/T_1 - 1}{T_3/T_2 - 1}\right)_{T_4/T_1 = T_3/T_2} = 1 - \frac{T_1}{T_2} \left(\frac{T_4/T_1 - 1}{T_3/T_2 - 1}\right)_{T_4/T_1 = T_3/T_2} = 1 - \frac{T_1}{T_2} \left(\frac{T_4/T_1 - 1}{T_3/T_2 - 1}\right)_{T_4/T_1 = T_3/T_2} = 1 - \frac{T_1}{T_2} \left(\frac{T_4/T_1 - 1}{T_3/T_2 - 1}\right)_{T_4/T_1 = T_3/T_2} = 1 - \frac{T_1}{T_2} \left(\frac{T_4/T_1 - 1}{T_3/T_2 - 1}\right)_{T_4/T_1 = T_3/T_2} = 1 - \frac{T_1}{T_2} \left(\frac{T_4/T_1 - 1}{T_3/T_2 - 1}\right)_{T_4/T_1 = T_3/T_2} = 1 - \frac{T_1}{T_2} \left(\frac{T_4/T_1 - 1}{T_3/T_2 - 1}\right)_{T_4/T_1 = T_3/T_2} = 1 - \frac{T_1}{T_2} \left(\frac{T_4/T_1 - 1}{T_3/T_2 - 1}\right)_{T_4/T_1 = T_3/T_2} = 1 - \frac{T_1}{T_2} \left(\frac{T_4/T_1 - 1}{T_3/T_2 - 1}\right)_{T_4/T_1 = T_3/T_2} = 1 - \frac{T_1}{T_3} \left(\frac{T_4/T_1 - 1}{T_3/T_2 - 1}\right)_{T_4/T_1 = T_3/T_2} = 1 - \frac{T_1}{T_3} \left(\frac{T_4/T_1 - 1}{T_3/T_2 - 1}\right)_{T_4/T_1 = T_3/T_2} = 1 - \frac{T_1}{T_3} \left(\frac{T_4/T_1 - 1}{T_3/T_2 - 1}\right)_{T_4/T_1 = T_3/T_2} = 1 - \frac{T_1}{T_3} \left(\frac{T_4/T_1 - 1}{T_3/T_3 - 1}\right)_{T_4/T_1 = T_3/T_2} = 1 - \frac{T_1}{T_3} \left(\frac{T_4/T_1 - 1}{T_3/T_3 - 1}\right)_{T_4/T_1 = T_3/T_2} = 1 - \frac{T_1}{T_3} \left(\frac{T_4/T_1 - 1}{T_3/T_3 - 1}\right)_{T_4/T_1 = T_3/T_2} = 1 - \frac{T_1}{T_3} \left(\frac{T_4/T_1 - 1}{T_3/T_3 - 1}\right)_{T_4/T_1 = T_3/T_2} = 1 - \frac{T_1}{T_3} \left(\frac{T_4/T_1 - 1}{T_3/T_3 - 1}\right)_{T_4/T_1 = T_3/T_2} = 1 - \frac{T_1}{T_3} \left(\frac{T_4/T_1 - 1}{T_3/T_3 - 1}\right)_{T_5/T_3} = 1 - \frac{T_1}{T_3} \left(\frac{T_4/T_1 - 1}{T_3/T_3 - 1}\right)_{T_5/T_3} = 1 - \frac{T_1}{T_$$

• Sabendo que  $T_2 = T_1 \left(\frac{p_2}{p_1}\right)^{(k-1)/k}$  a eficiência térmica pode ser reescrita como:

$$\eta = 1 - \frac{1}{(p_2/p_1)^{(k-1)/k}}$$
 $\uparrow \frac{p_2}{p_1} \Rightarrow \uparrow \eta$  (ar-padrão frio)



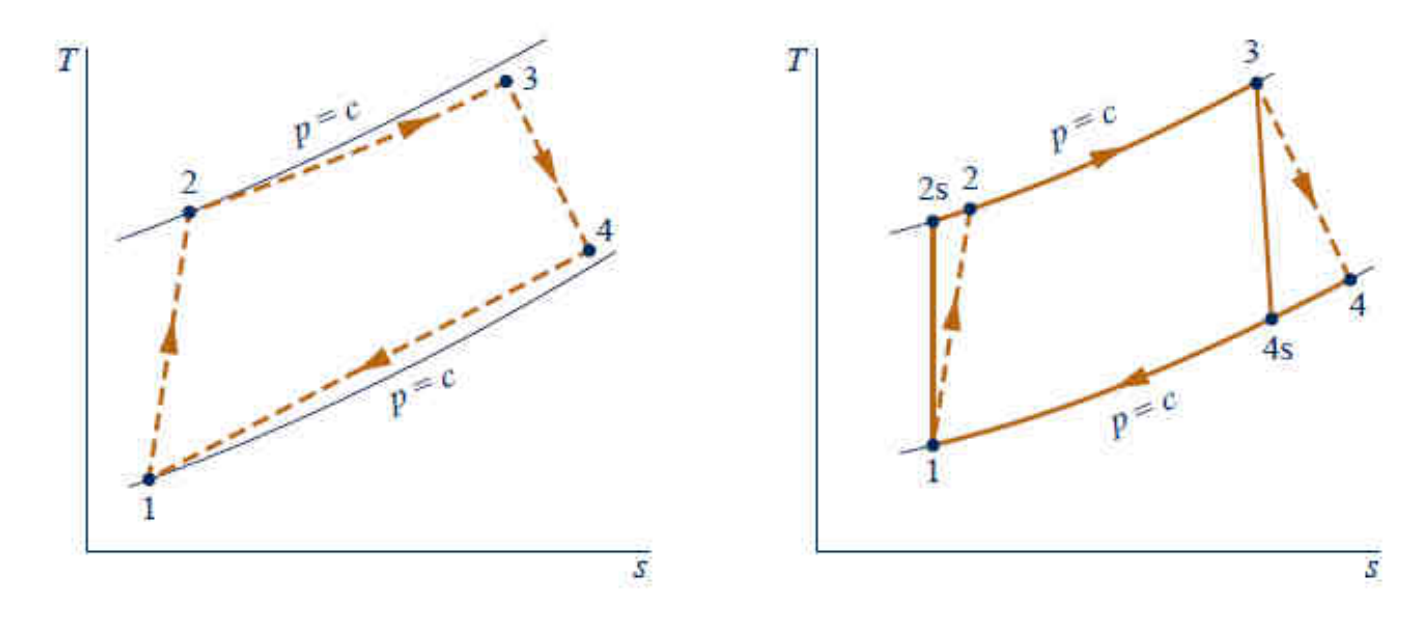
- O ciclo A tem uma relação de compressão maior do que o ciclo B (maior eficiência térmica).
- Porém o ciclo B produz mais trabalho líquido.
- Para que A produza o mesmo trabalho que B é necessário um aumento da vazão (sistema maior).
  - Para veículos, é desejável sistemas menores (mais leves), e portanto é preferível o máximo trabalho e não a maior eficiência térmica.



- Nota-se que a eficiência térmica aumenta com a relação de compressão.
- Nota-se que o trabalho líquido por unidade de massa aumenta e diminui com o aumento da relação de compressão.
- Para veículos por exemplo, o máximo trabalho líquido poderia ser obtido, de acordo com o gráfico acima, para uma relação de compressão aproximadamente igual a 21.

#### 9.6.4 Irreversibilidades e perdas nas turbinas a gás

- 1ª figura: aumento da entropia específica do fluido no compressor (1-2) e na turbina (3-4) devido ao atrito e perdas de carga conforme o fluido passa através dos trocadores de calor (2-3 e 4-1).
- 2ª figura: desprezando as perdas de carga do fluido nos trocadores de calor (perdas segundárias com relação as perdas por atrito no compressor e turbina).



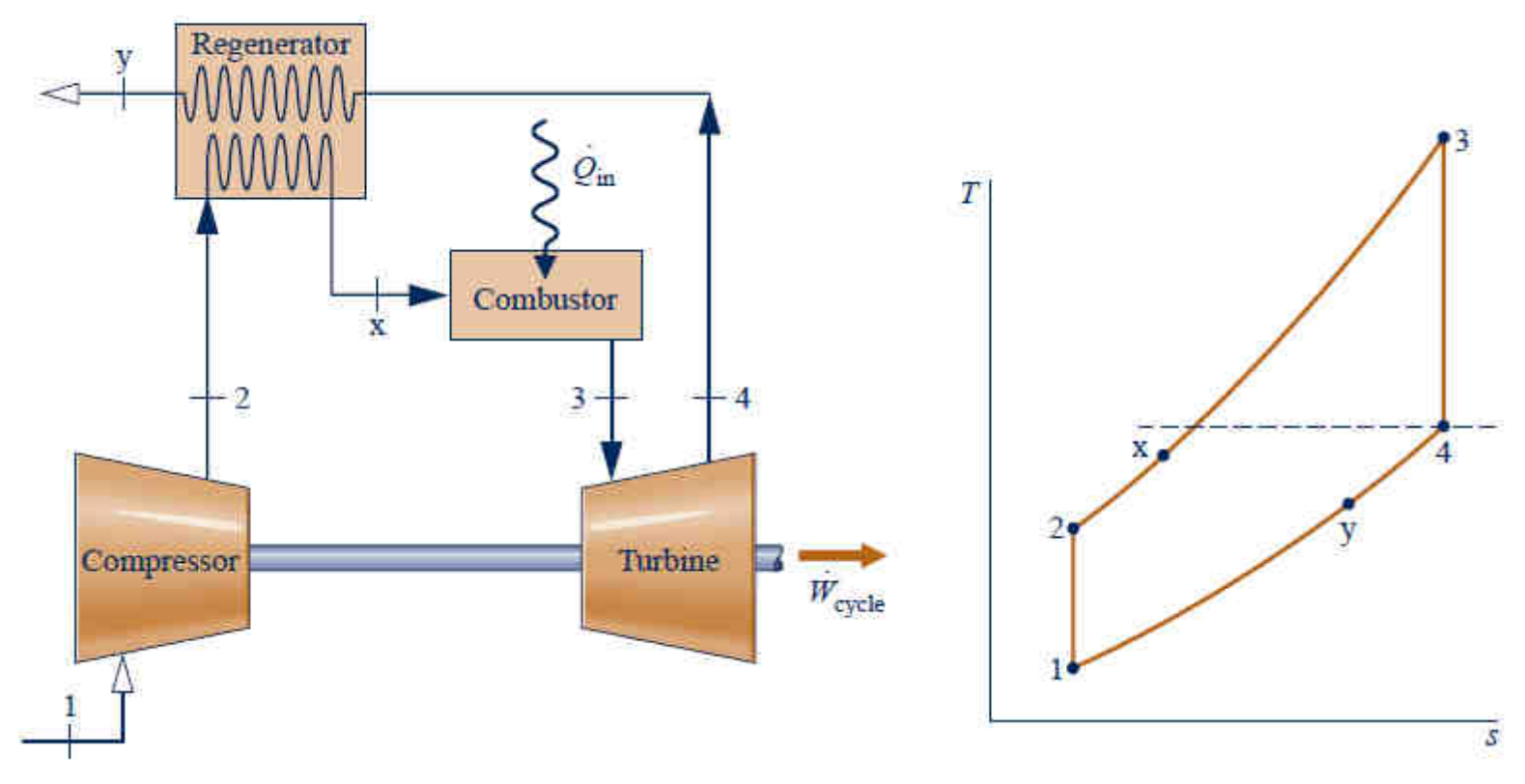
- Com o aumento das irreversibilidades, o trabalho produzido na turbina descresce e o trabalho fornecido ao compressor aumenta, resultanto em um decréscimo do trabalho líquido da instalação de potência.
- Outras fontes de irreversibilidades: transferências de calor residuais dos componentes da instalação e o processo de combustão (o mais importante).
- Porém, uma análise de ar-padrão não permite que as irreversibilidades da combustão sejam calculadas.
- As eficiências isoentrópicas da turbina e do compressor são dadas por:

$$\eta_t = \frac{(\dot{W_t}/\dot{m})}{(\dot{W_t}/\dot{m})_s} = \frac{h_3 - h_4}{h_3 - h_{4s}} \qquad \eta_t = \frac{(\dot{W_c}/\dot{m})_s}{(\dot{W_c}/\dot{m})} = \frac{h_{2s} - h_1}{h_2 - h_1}$$

• Após décadas de esforços, é comum encontrar compressores e turbinas com 80 a 90 % de eficiência.

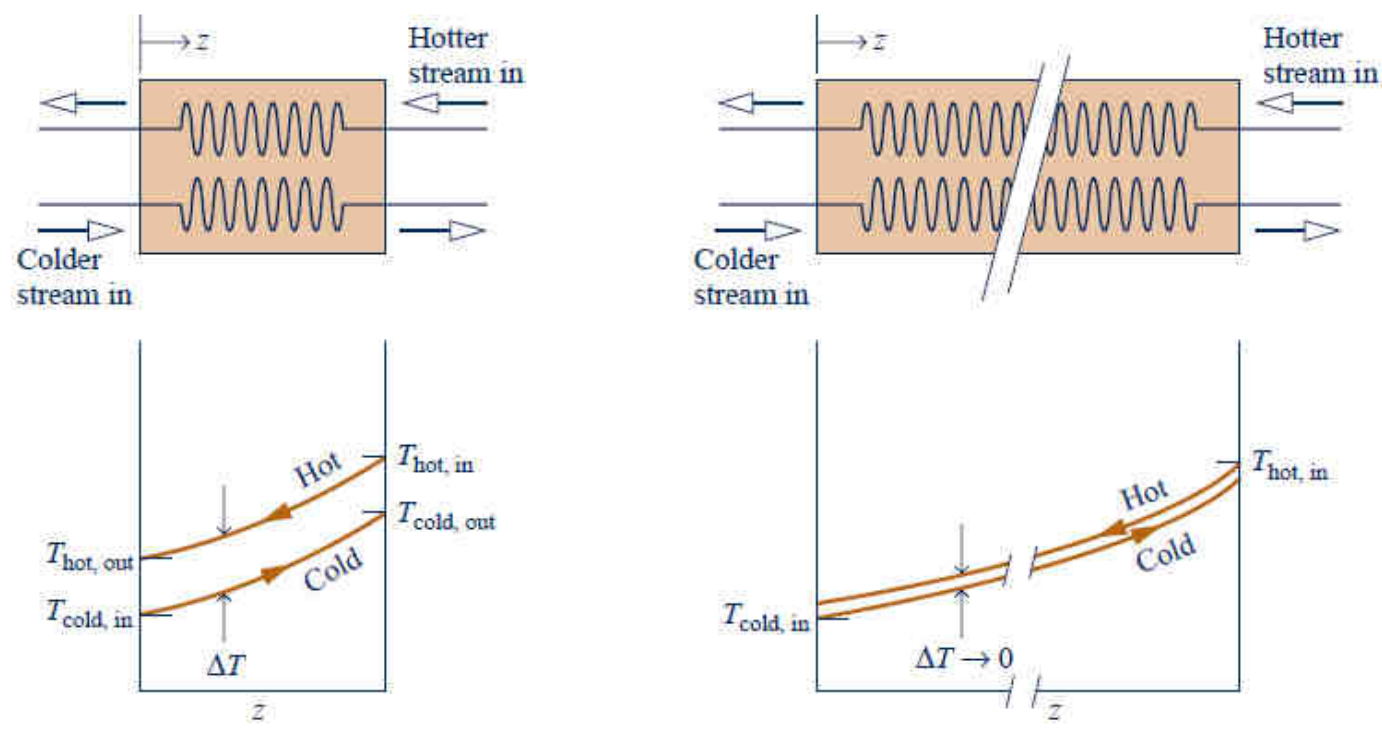
#### 9.7 TURBINAS A GÁS REGENERATIVAS

- A temperatura de saída de uma turbina a gás é normalmente bem acima da temperatura ambiente.
- Esse gás quente de escape possui potencial de uso (exergia) que seria perdido se o gás fosse descarregado diretamente para as vizinhanças.
- Uma maneira de aproveitar esse potencial é através de um **regenerador**, que permite que o ar que deixa o compressor seja preaquecido antes de entrar no combustor.
- Isso reduz a quantidade de combustível que deve ser queimada no combustor.
- Conforme a figura abaixo, o renegerador é um trocador de calor contracorrente onde o gás quente que sai da turbina e o gás frio que sai do compressor escoam em direções opostas.



• O gás de escape da turbina é resfriado e 4 a y, enquanto o ar que sai do compressor é aquecido de 2 a x. Assim, a transferência de calor da fonte externa é necessária para aumentar a temperatura do ar do estado x ao 3, em vez do estado 2 ao estado 3, como seria o caso sem regeneração.

- O trabalho líquido não é alterado com a inclusão do regenerador, mas como o calor adicionado é reduzido, a eficiência térmica aumenta.
- Calor adicionado ao ciclo por unidade de massa:  $\frac{\dot{Q}_{ent}}{\dot{m}} = h_3 h_x$
- Nota-sa que a transferência de calor externa para o ciclo diminui (economia de combustível) com o aumento de  $h_x$ , e desse modo com  $T_x$ .
- De acordo com a figura esquerda abaixo (regenerador real), a temperatura de saída do fluido frio  $(T_x)$  é sempre menor do que a temperatura de entrada do fluido quente, pois o  $\Delta T$  entre as correntes de fluido é finito.
- De acordo com a figura direita abaixo, na situação ideal (regenerador reversível), o  $\Delta T$  entre as correntes de fluido tende a zero (área infinita de troca de calor) e  $(T_x)$  se aproxima da temperatura de entrada do fluido quente. No caso limite,  $T_x = T_{ent,q} = T_4$ .



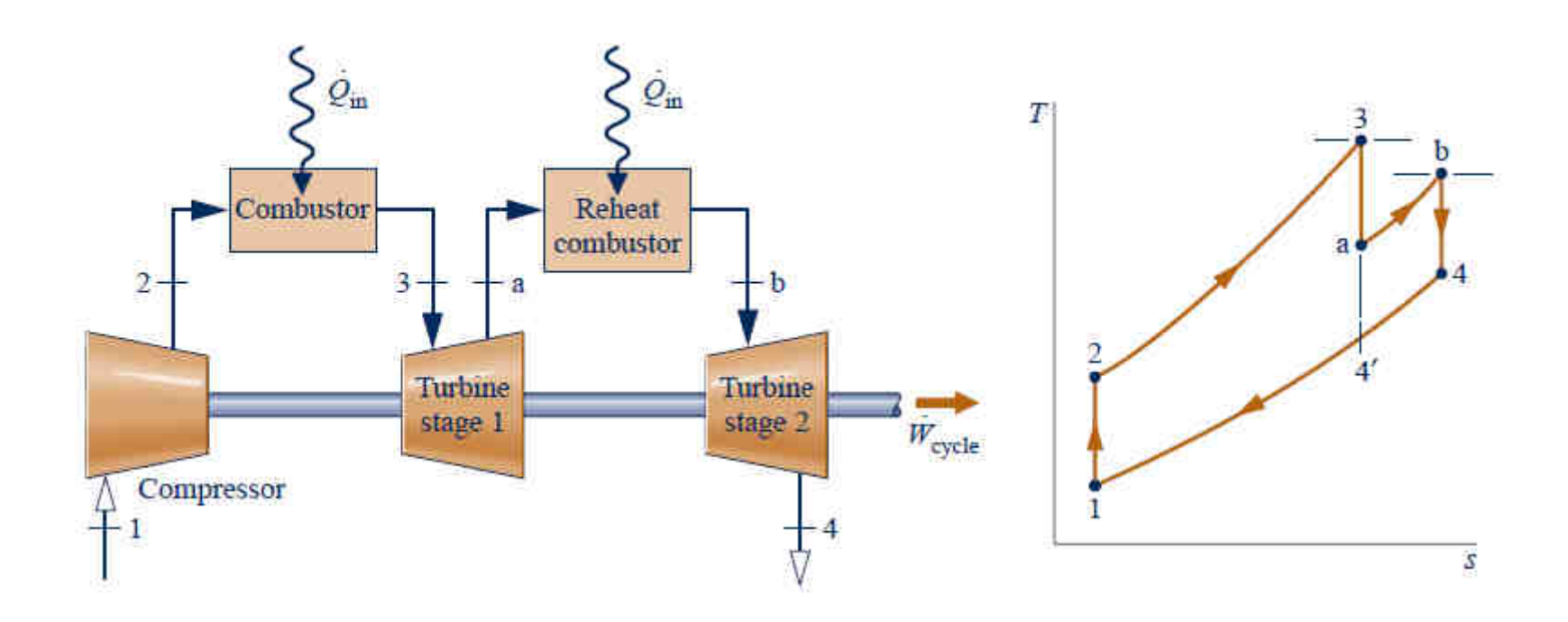
- A efetividade do regenerador é um parâmetro que mede o afastamento de um regenerador real em relação a tal regenerador ideal.
- É a razão entre o aumento real de entalpia do ar entre 2 e x e o aumento máximo teórico de entalpia.

$$\eta_{reg} = \frac{h_x - h_2}{h_4 - h_2}$$

- Ná prática, valores típicos de 60 a 80% são encontrados para  $\eta_{reg}$  e dessa forma,  $T_x < T_4$ .
- Um aumento da área de troca de calor para uma maior eficiência pode resultar em grandes perdas por atrito, afetando o desempenho global.
- Além disso, maiores trocadores de calor são mais caros, e a decisão de adicionar um regenerador é principalmente econômica.
- O trabalho por unidade de vazão mássica do compressor e da turbina não se modificam com a adição do regenerador.
- Assim, a razão de trabalho reverso e o trabalho líquido produzido não são afetados por esta modificação.

# 9.8 TURBINAS A GÁS REGENERATIVAS COM REAQUECIMENTO E INTER-RESFRIAMENTO

### 9.8.1 Turbinas a gás com reaquecimento

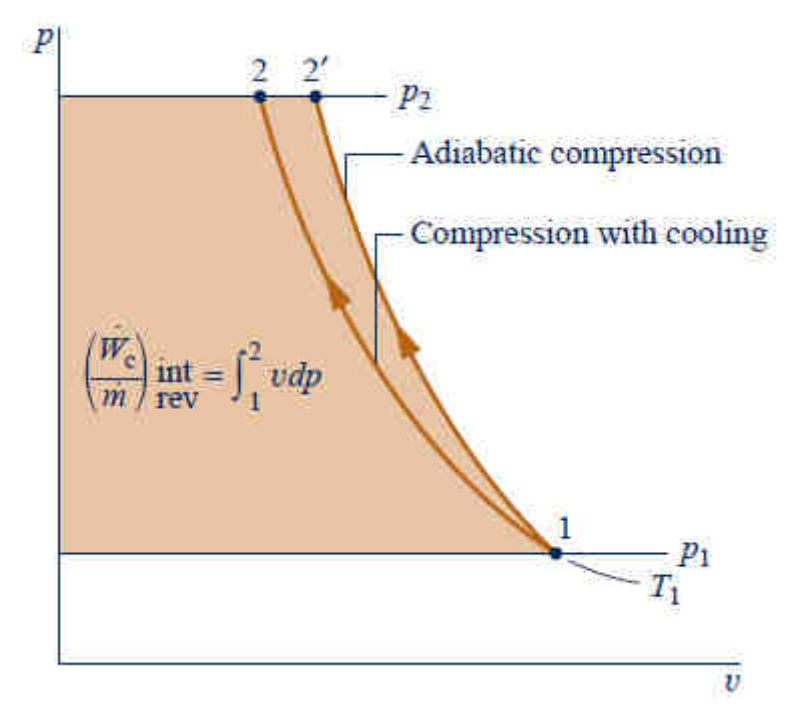


- Em instalações de potência a gás com excesso de ar na combustão, pode ser conseguido um aumento na eficiência térmica com uma turbina de múltiplos estágios e um combustor de reaquecimento entre os estágios.
- Nesse caso, o trabalho líquido por unidade de massa é aumentado.
- Conforme figura acima, após expansão do estado 3 para o estado a na primeira turbina, o gás é reaquecido a pressão constante do estado a ao estado b. A expansão é então completada na segunda turbina do estado b ao estado 4.
- Num ciclo Brayton ideal sem reaquecimento a expansão ocorreria de 3 a 4' e com reaquecimento ocorre de 3 a a e de b a 4.
- O trabalho líquido do ciclo com reaquecimento é maior do que aquele do ciclo sem reaquecimento.
- A eficiência térmica do ciclo não necessariamente aumentaria, porque seria exigida uma maior adição de calor total.

• Porém, a temperatura na saída da turbina é maior com reaquecimento do que sem este, portanto o potencial para regeneração é aumentado.

#### 9.8.2 Compressão com inter-resfriamento

- O trabalho líquido produzido por uma turbina a gás também pode ser aumentado reduzindo-se o trabalho fornecido ao compressor.
- Isso pode ser obtido através da compressão em múltiplos estágios com interresfriamento.



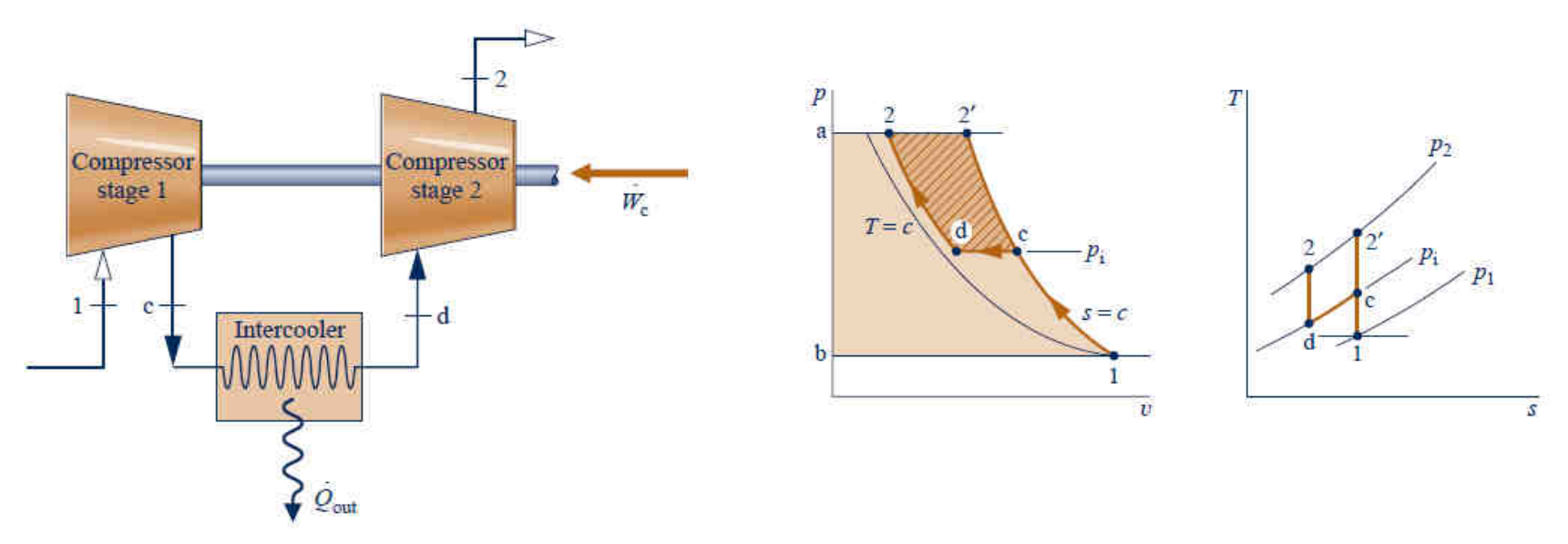
Caminho 1-2': compressão adiabática.

Caminho 1-2: compressão com transferência de calor do fluido de trabalho para as vizinhanças.

A área a esquerda de cada curva é igual a magnitude do trabalho por unidade de massa em cada processo.

$$\left(\dot{W}_c/\dot{m}\right)_{1-2} < \left(\dot{W}/\dot{m}\right)_{1-2}$$

- Isso sugere que resfriar um gás durante a compressão é vantajoso em termos de necessidade de fornecimento de trabalho.
- Na prática é difícil realizar as interações de calor e trabalho simultanemente de tal maneira que é conveniente separar essas interações em processos distintos, permitindo que a compressão ocorra em estágios com trocadores de calor, chamados inter-resfriadores.



- 1-c: compressão isoentrópica de 1 até c, onde a pressão é  $p_i$ .
- c-d: resfriamento a pressão constante da temperatura  $T_c$  para  $T_d$ .
- d-2: compressão isoentrópica de d a 2.
- Trabalho fornecido por unidade de massa: área 1-c-d-2-a-b-1.

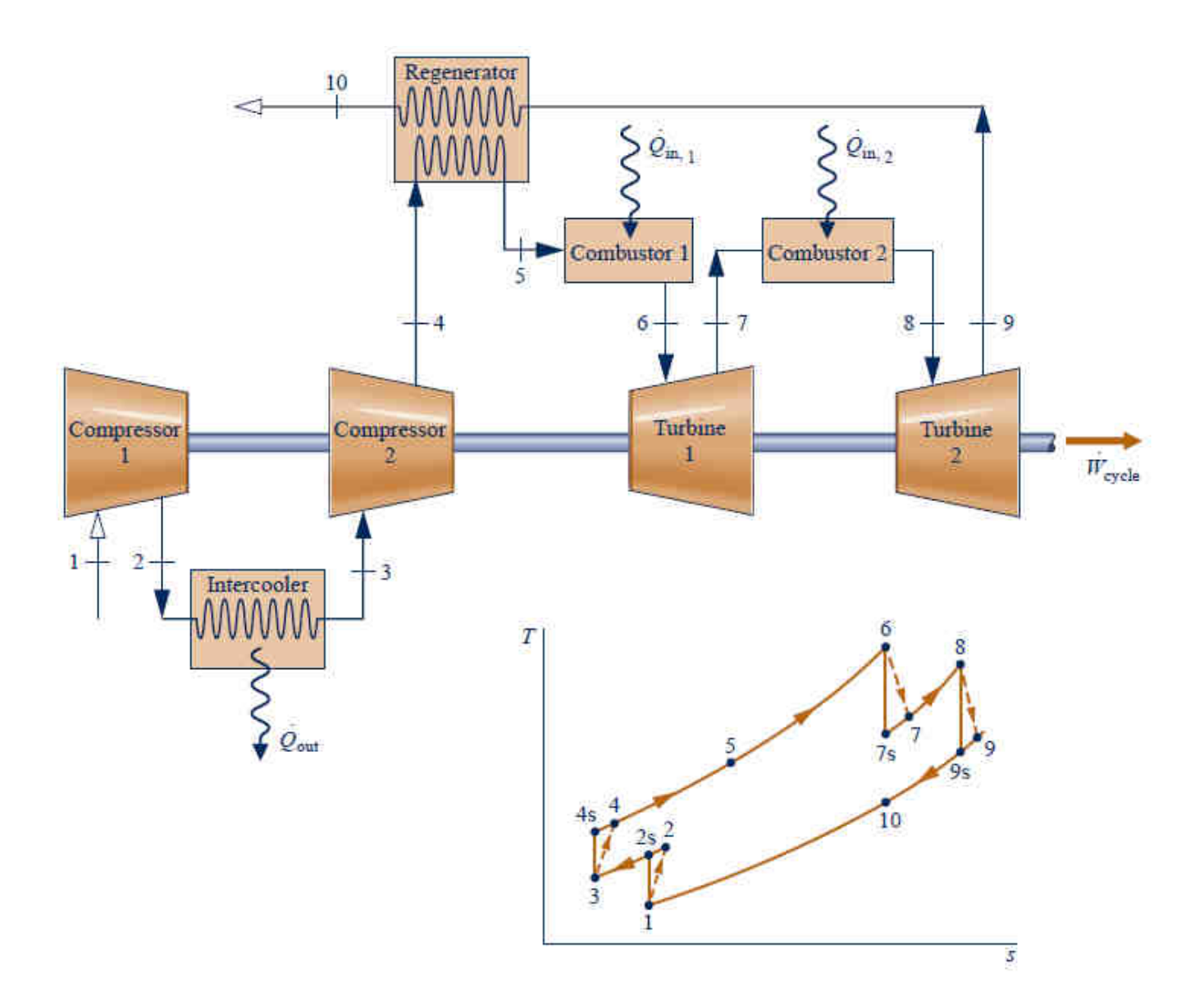
- Trabalho fornecido por unidade de massa sem inter-resfriamento: área 1-2'-a-b-1.
- Área (1-2'-a-b-1) Área (1-c-d-2-a-b-1) = Área (c-d-2-2'-c)
- A área hachurada c-d-2-2'-c é a redução de trabalho obtido com o interresfriamento.
- O número de estágios e condições operacionais é um problema de otimização
- A compressão em múltiplos estágios com inter-resfriamento aumenta o trabalho líquido produzido através da redução do trabalho de compressão.
- Entretanto, a temperatura de admissão de ar no combustor seria reduzida ( $T_2$  ao invés de  $T_2$ ) o que exigiria uma transferência de calor adicional (consumo de combustível adicional) para atingir a temperatura de entrada desejada na turbina.

- Mas a temperatura mais baixa na saída do compressor aumenta o potencial para regeneração, de forma que, quando o inter-resfriamento é utilizado em conjunto com a regeneração, é verificado aumento de eficiência térmica.
- O tamanho da área hachurada (redução de trabalho com o inter-resfriamento) depende de  $T_d$  e  $p_i$ .
- Selecionando apropriadamente  $T_d$  e  $p_i$  o trabalho total fornecido ao compressor pode ser minimizado.

#### 9.8.3 Reaquecimento e inter-resfriamento

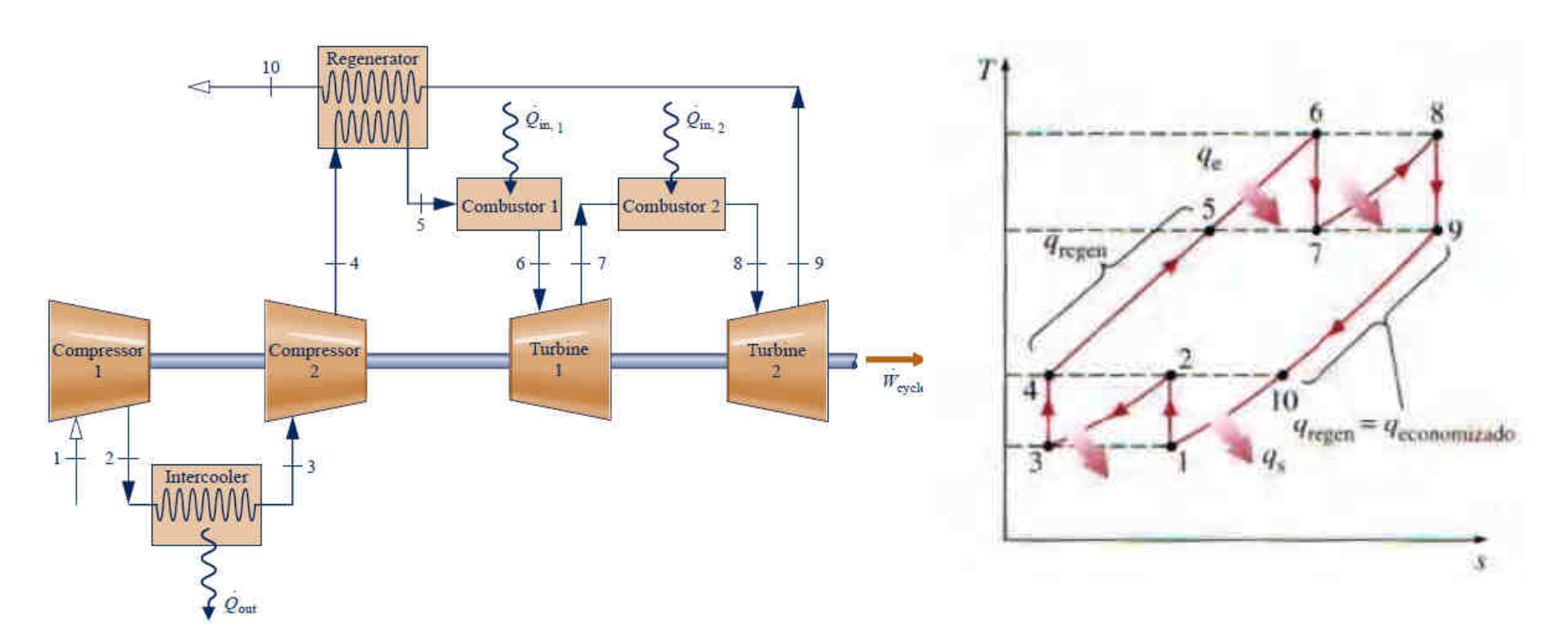
• Utilizando reaquecimento, inter-resfriamento e regeneração provocam uma melhora substancial no desempenho de um sistema de turbina a gás.

- Na figura abaixo a turbina a gás possui dois estágios de compressão e dois estágios de expansão.
- No diagrama T-s podem ser visualizadas as irreversibilidades nos estágios do compressor e da turbina.
- As perdas de carga no inter-resfriador, combustores e regenerador não são mostradas.
- A combinação reaquecimento e inter-resfriamento fornece duas vantagens: o trabalho líquido produzido é aumentado e potencial de regeneração também é aumentado.



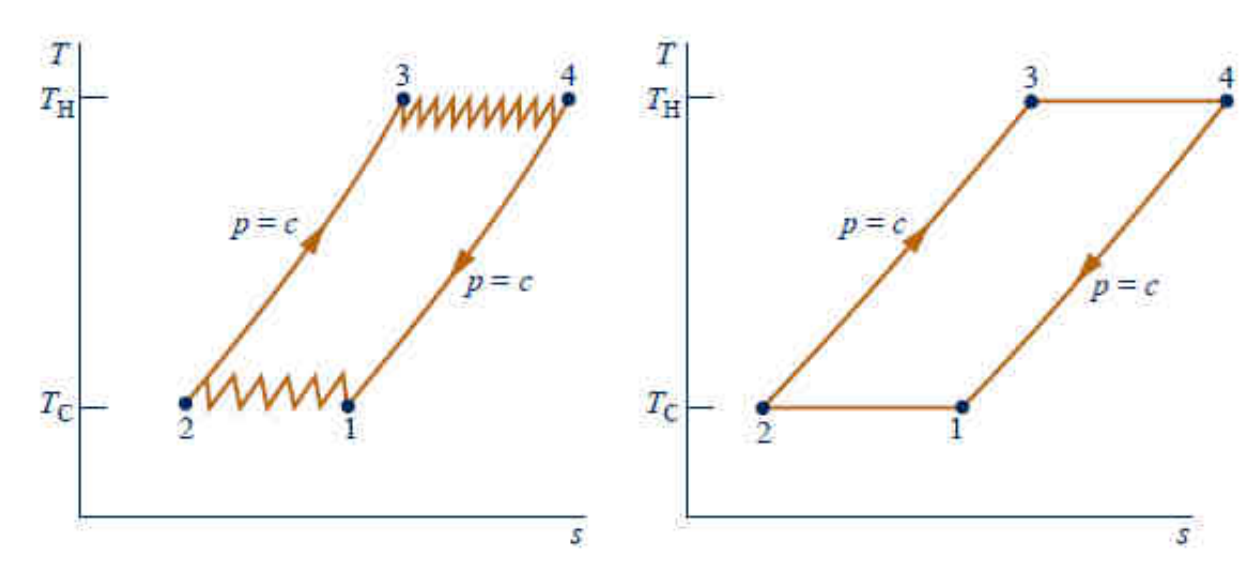
#### 9.8.4 Ciclo Ericsson

• Pode-se conseguir aumentos significativos na eficiência térmica de instalações de potência de turbina a gás através de inter-resfriamento, reaquecimento e regeneração.



- Existe um limite econômico para o número de estágios que pode ser empregado, e normalmente não há mais de dois ou três. De qualquer forma, é instrutivo considerar a situação em que o número de estágios torna-se infinitamente grande.
- Entre os estados 10 e 4 (rejeição de calor) podem ser colocados interresfriadores de tal forma que cada inter-resfriador retorne o fluido de trabalho para a temperatura  $T_1 = T_C$  da entrada do primeiro estágio de compressão.
- Da mesma forma, entre os estados 5 e 9 (ganho de calor) podem ser colocados reaquecedores de tal forma que cada reaquecedor retorno o fluido de trabalho para a temperatura  $T_6 = T_H$  da entrada do primeiro estágio da turbina.
- No limite, á medida que um número inifinito de estágios de reaquecimento e inter-resfriamento é utilizado, todo o calor adicionado ocorre quando o fluido de trabalho estiver à sua temperatura mais alta,  $T_H$ , e todo o calor rejeitado ocorre quando o fluido de trabalho estiver à sua temperatura mais baixa,  $T_C$ .

• O ciclo resultante é composto de dois processos isotérmicos (rejeição e ganho de calor) e dois processos isobáricos, chamado de ciclo Ericsson.



- O regenerador possibilita que o calor recebido no Processo 2-3 seja obtido do calor rejeitado no Processo 4-1.
- Em consequência, todo o calor adicionado do meio externo ocorre nos reaquecedores, e todo o calor rejeitado para as vizinhanças ocorre nos interresfriadores.

• Uma vez que se supõe que as irreversibilidades são ausentes e todo o calor é fornecido e rejeitado isotermicamente, a eficiência térmica do ciclo Ericsson iguala-se àquela de qualquer ciclo de potência reversível que opere com adição de calor à temperatura  $T_H$  e rejeição de calor à temperatura  $T_C$ , ou seja:

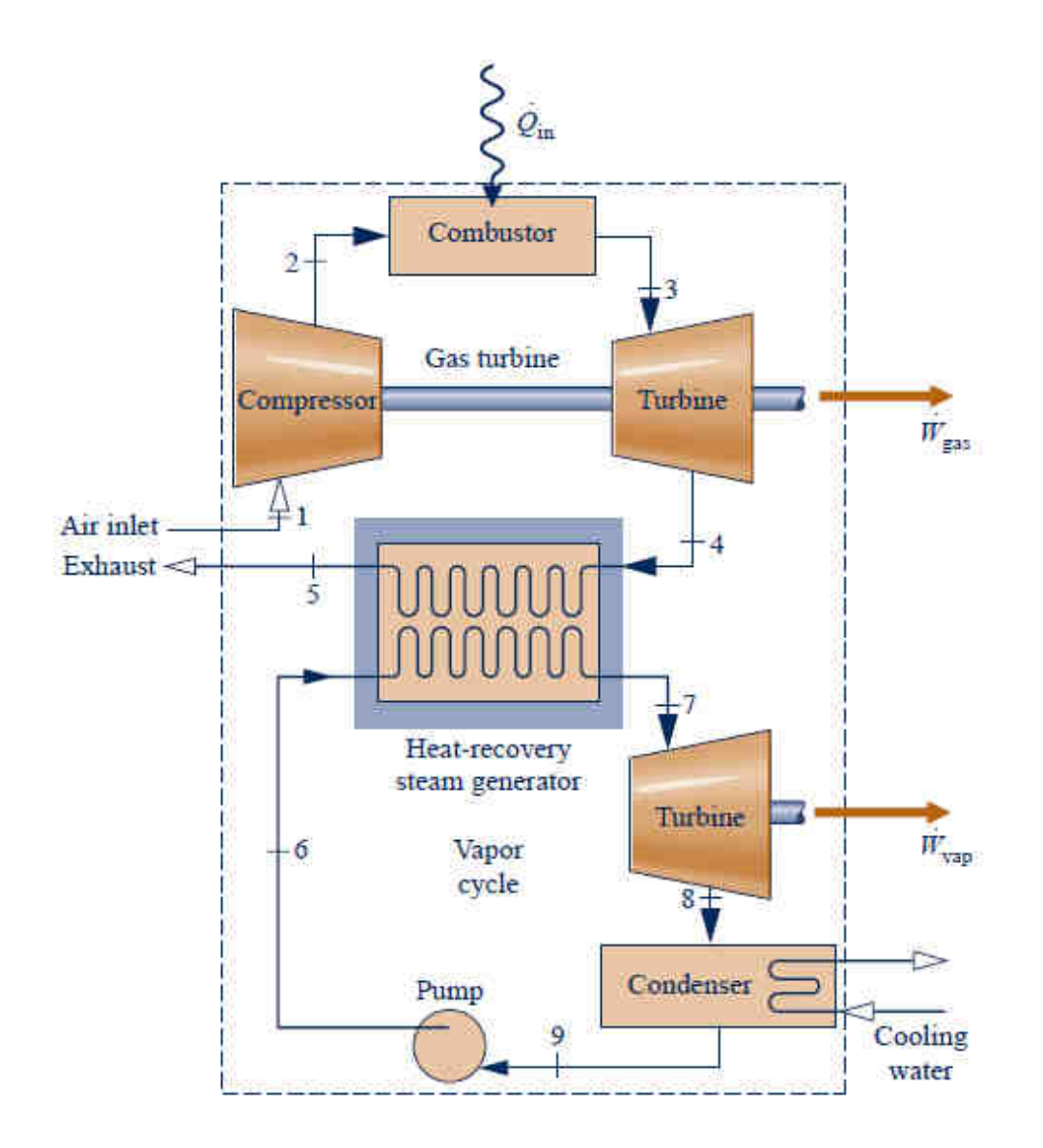
$$\eta = 1 - \frac{T_C}{T_H}$$
 (eficiência térmica de Carnot)

- O ciclo Ericsson é teórico e serve como apenas como referência para a eficiência térmica máxima de um ciclo ideal de turbina a gás com interresfriamento, reaquecimento e regeneração.
- Na prática a utilização de mais de dois ou três estágios não se justifica em termos econômicos.

## 9.9 CICLOS COMBINADOS BASEADOS EM TURBINAS A GÁS

#### 9.9.1 Ciclo de potência combinado de turbina a gás e a vapor

- Um ciclo combinado acopla dois ciclos de potência de modo que a energia descarregada através do calor de um dos ciclos é usada como o calor fornecido ao outro ciclo.
- Os ciclos de potência a vapor e a gás são combinados usando um gerador de vapor com recuperação de calor como interligação, que serve como caldeira do ciclo de potência a vapor.
- O ciclo combinado possui a elevada temperatura média de adição de calor da turbina a gás e a baixa temperatura média de rejeição de calor do ciclo a vapor e, portanto, uma eficiência térmica média maior do que qualquer um dos dois ciclos teria individualmente.
- Os ciclos combinado são bastante utilizados na geração de energia elétrica.



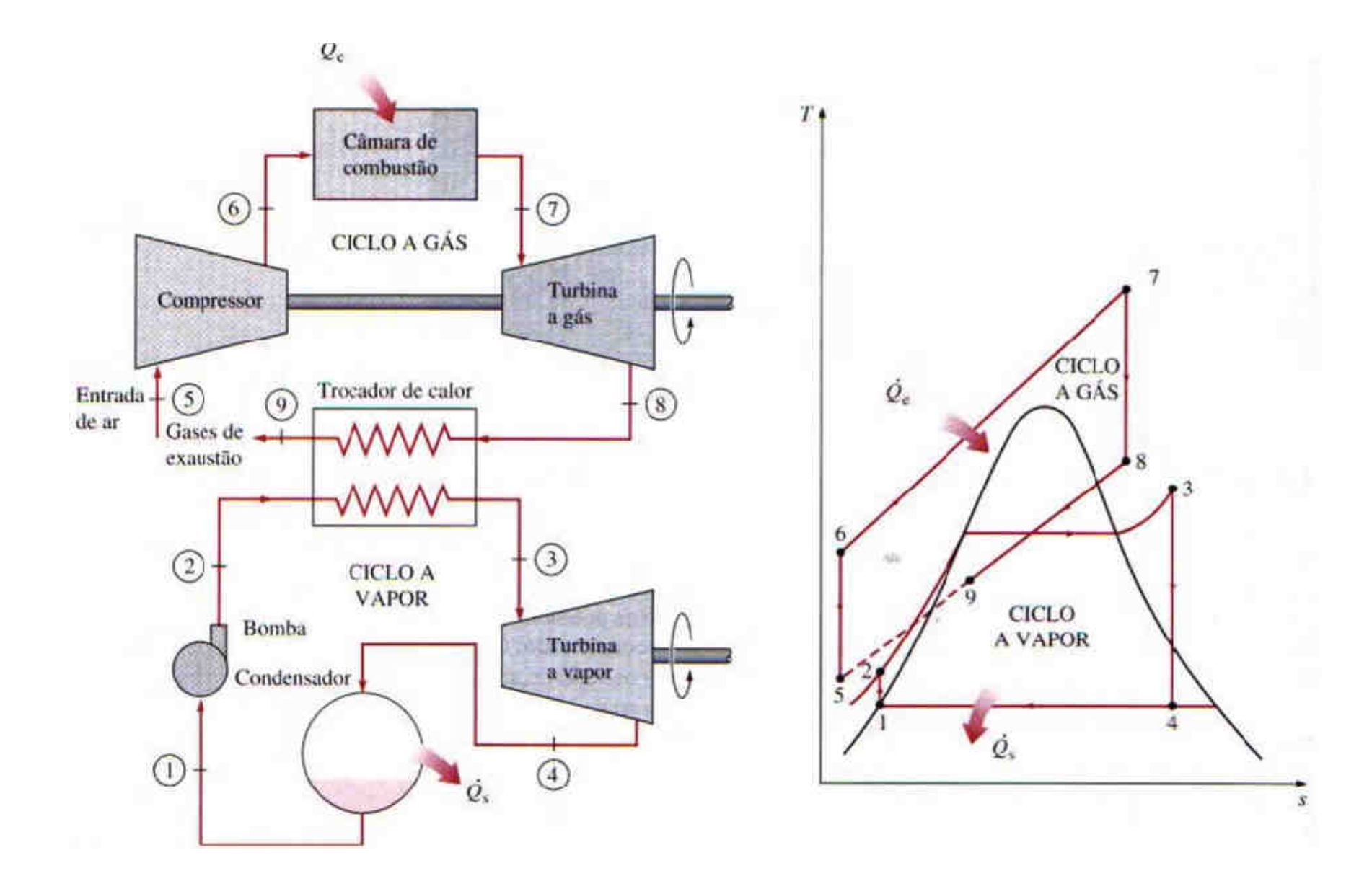
$$\eta_{g\acute{a}s} = rac{\dot{W}_{ciclo,g\acute{a}s}}{\dot{Q}_{entra}} = rac{\dot{W}_{ciclo,g\acute{a}s} / \dot{m}_{g\acute{a}s}}{\dot{Q}_{entra} / \dot{m}_{g\acute{a}s}}$$

$$\eta_{vap} = rac{\dot{W}_{ciclo,vap}}{\dot{Q}_{caldeira}} = rac{\dot{W}_{ciclo,vap} \left/ \dot{m}_{vap}}{\dot{Q}_{caldeira} \left/ \dot{m}_{vap} 
ight.}$$

$$\eta_{cc} = rac{\dot{W}_{ciclo,gas} + \dot{W}_{ciclo,vap}}{\dot{Q}_{entra}}$$

$$\eta_{cc} = \eta_{g\acute{a}s} + \eta_{vap} - \eta_{g\acute{a}s}\eta_{vap}$$

$$\dot{m}_{g\acute{a}s}(h_4 - h_5) = \dot{m}_{vap}(h_7 - h_6)$$

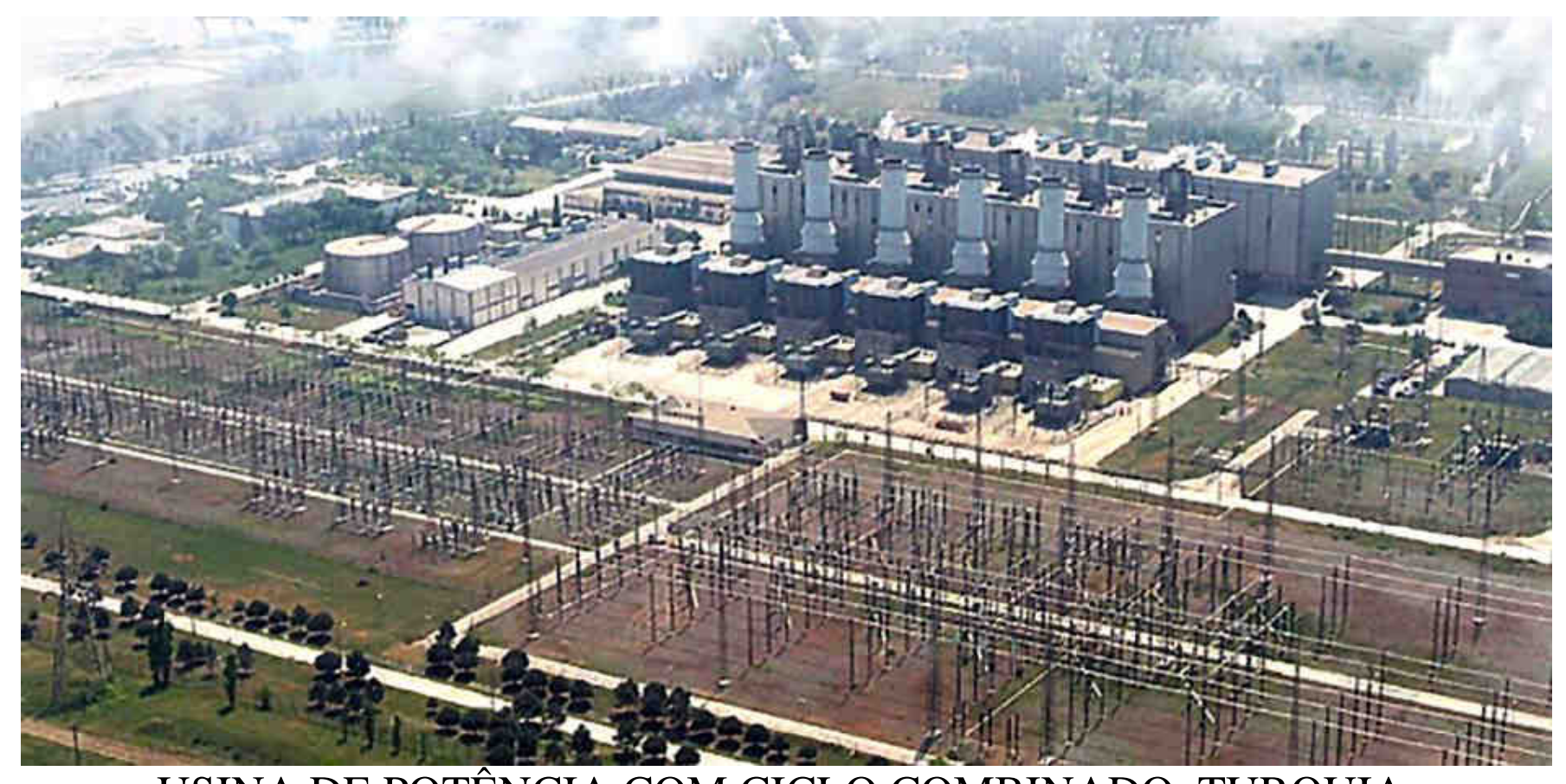


- Os ciclos de turbina a gás operam em temperaturas consideravelmente mais altas que os ciclos a vapor d'água.
- A temperatura máxima do fluido na entrada da turbina é cerca de 620 °C para as usinas de potência a vapor modernas, mas ela está acima dos 1425 °C para as usinas de turbinas a gás.
- O uso de temperaturas mais altas nas turbinas a gás é possível pelos desenvolvimentos recentes nas áreas de resfriamento das pás da turbina e seu revestimento com materiais resistentes a alta temperatura, como os cerâmicos.
- EXEMPLO 1: Usina em Niigata, Japão, de 1090 W, com eficiência térmica de 44%. Possui duas turbinas a vapor de 191 MW e seis turbinas a gás de 118 MW. Os gases quentes de combustão entram nas turbinas a gás a 1154 °C e o vapor entra nas turbinas a vapor a 500 °C. O vapor é resfriado no condensador por água de resfriamento na temperatura média de 15 °C. Os compressores tem razões de pressão de 14, e o fluxo de massa de ar através dos compressores é de 443 kg/s.



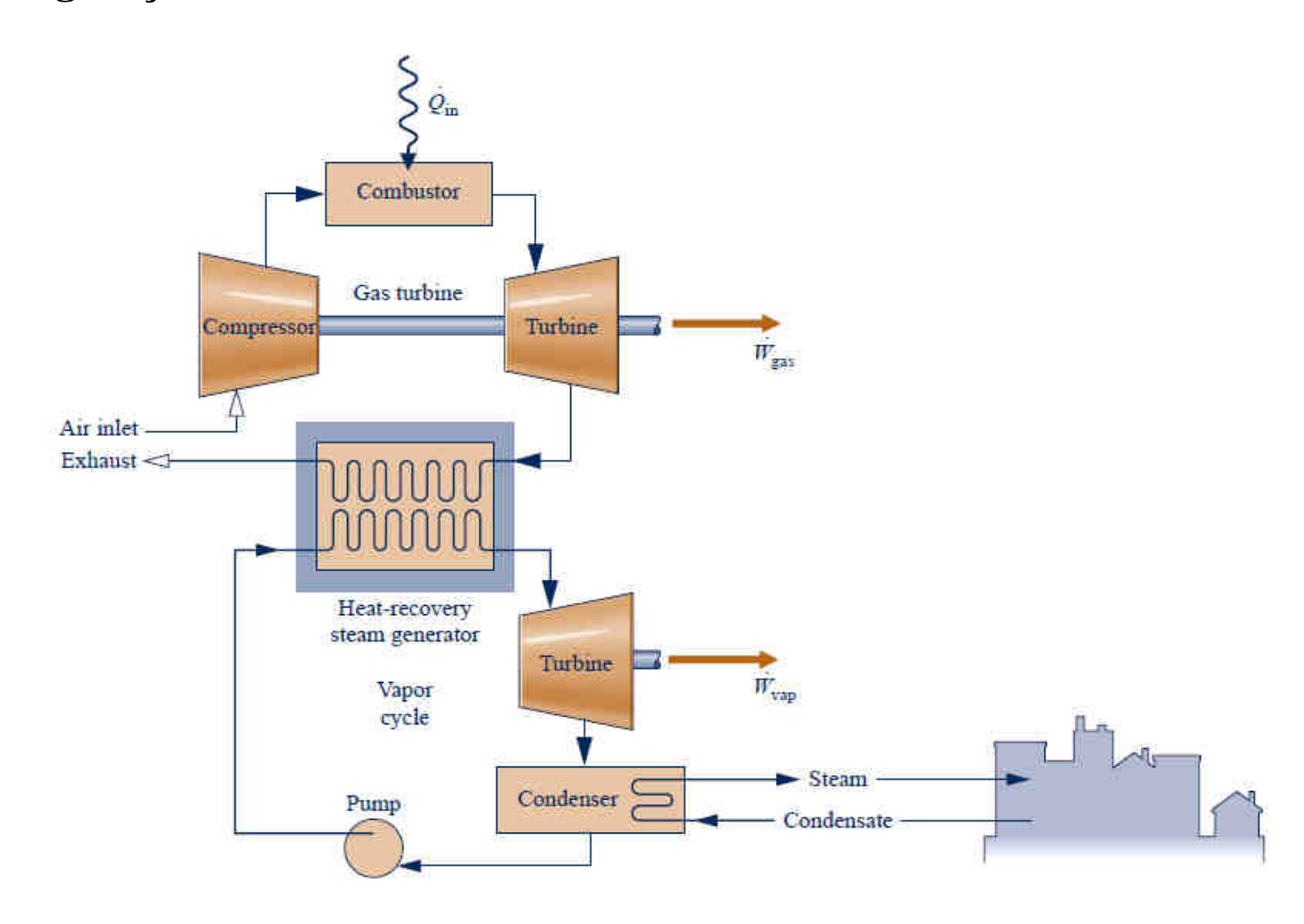
USINA DE POTÊNCIA COM CICLO COMBINADO, JAPÃO.

• EXEMPLO 2: Usina em Ambarli, Turquia com eficiência térmica de 52,5%. Possui três turbinas a vapor de 173 MW e seis turbinas a gás de 150 MW.



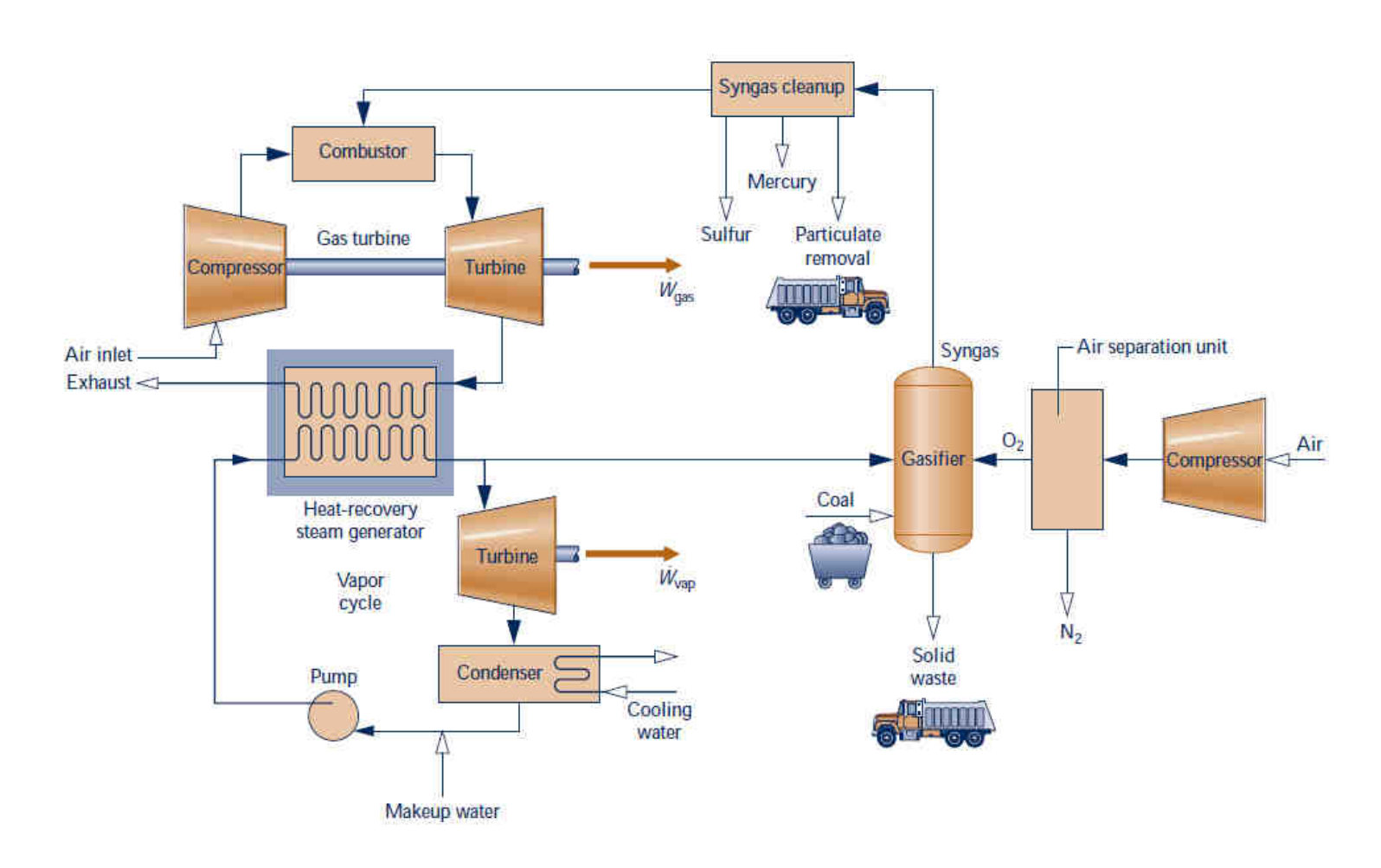
USINA DE POTÊNCIA COM CICLO COMBINADO, TURQUIA.

## 9.9.2 Cogeração



- Consiste na produção de vapor (ou água quente) e eletricidade a partir de uma única entrada de combustível.
- Os sistemas de cogeração apresentam inúmeras aplicações industriais e comerciais. O aquecimento urbano é uma delas.
- No sistema acima, o vapor (ou água quente) vindo do condensador pode ser fornecido para atender a carga de aquecimento urbano.
- Se o condensador for omitido, o vapor é fornecido diretamente da turbina a vapor para atender a carga de aquecimento urbano; o condensado retorna ao gerador de vapor de recuperação de calor.
- Uma terceira alternativa é a omissão também da turbina, com o vapor passando diretamente da unidade de recuperação para a comunidade e retornando novamente, sendo a energia gerada apenas pela turbina a gás.

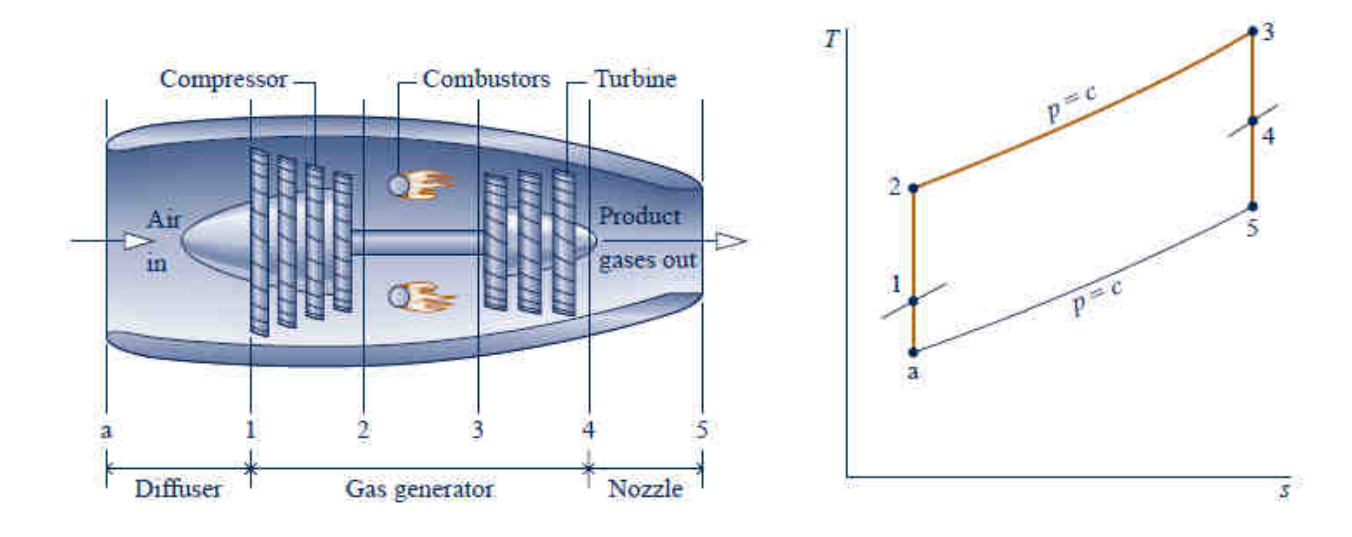
## 9.10 INSTALAÇÕES DE POTÊNCIA COM GASEIFICAÇÃO INTEGRADAS AO CICLO COMBINADO



- A utilização de carvão tem impactos ambientais e impactos na saúde humana. Existe um esforço para o desenvolvimento de tecnologias alternativas de geração de energia usando carvão com menos efeitos adversos.
- Uma dessas tecnologias é a instalação de sistemas de potência com gaseificação integrada ao ciclo combinado (integradyed gaseification combined-cycle IGCC).
- Nesse processo é produzido um gás sintético (singás) composto de CO<sub>2</sub> e H<sub>2</sub> proveniente da combustão controlada do carvão com oxigênio na presença de vapor d'água.
- O singás passa por uma limpeza de poluentes (enxofre, mercúrio e particulados) antes de ser direcionado ao combustor da turbina a gás, o que proporciona uma queima mais limpa.
- Usualmente, em instalações convecionais, os poluentes são removidos depois da combustão.

## 9.11 TURBINAS A GÁS PARA PROPULSÃO DE AERONAVES

- As turbinas a gás são particularmente adequadas para a propulsão de aeronaves devido à sua razão favorável potência por peso.
- O motor turbojato composto por um difusor  $(V_1 < V_a$ , desaceleração,  $p_1 > p_a)$ , gerador de gás e bocal  $(V_5 > V_4$ , aceleração,  $p_5 < p_4)$  pode ser usado para esse propósito.



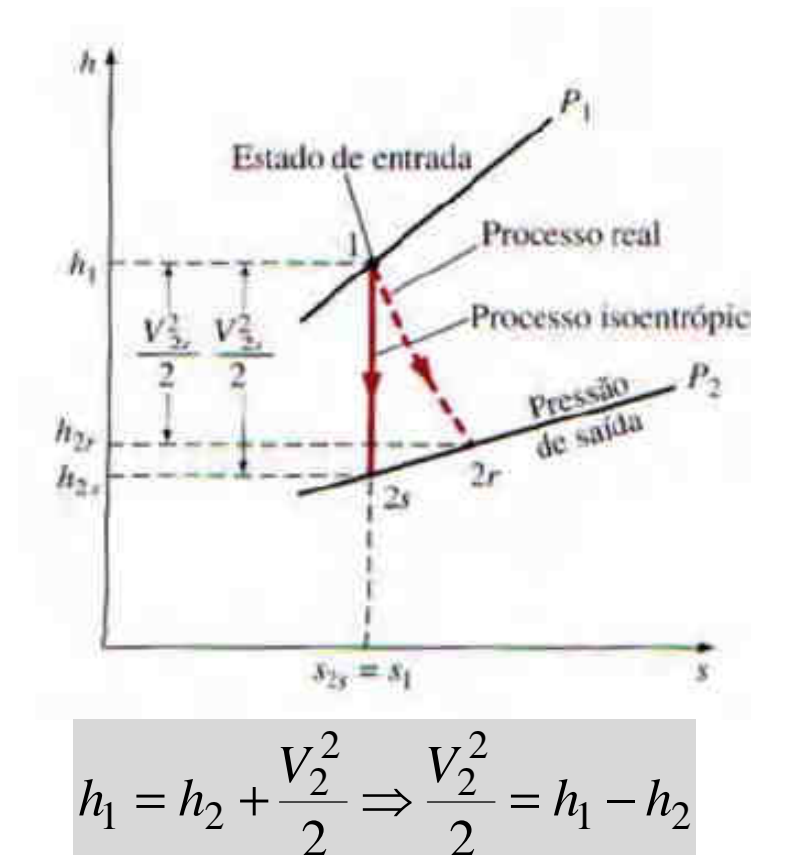
- O aumento de pressão na entrada e redução da pressão na saída causa o chamado efeito pistão, e a variação global na velocidade dos gases dá origem a força propulsora, ou empuxo, que move o avião.
- Diferentemente do ciclo Brayton, os gases não se expandem até a pressão ambiente, mas sim até uma pressão na qual a potência produzida na turbina é suficiente para acionar o compressor.
- Assim, a potência líquida em um ciclo de propulsão a jato é nula.
- Os processos do diagrama anterior são:
  - 1. PROCESSO a-1: aumento de pressão e desaceleração num difusor
    - 2. PROCESSO 1-2: compressão isoentrópica
    - 3. PROCESSO 2-3: adição de calor a pressão constante
      - 4. PROCESSO 3-4: expansão isoentrópica
- 5. PROCESSO 4-5: diminuição da pressão e aceleração num bocal isoentrópico

• A eficiência isoentrópica de um bocal é a relação entre a energia cinética real do fluido na saída do bocal e a energia cinética na saída de um bocal isoentrópico para o mesmo estado de entrada e pressão de saída, ou seja:

$$\eta_{bocal} = \frac{\text{EC real na saída do bocal}}{\text{EC isoentrópica na saída do bocal}} = \frac{V^2/2}{V_s^2/2}$$

• Bocais não envolvem interações de calor e trabalho, a variação de energia potência é desprezível e a velocidade de entrada é baixa com relação a velocidade na saída, de tal forma que um balanço de massa e de energia fornece:

$$\frac{=0}{\hat{Q}} + \sum \dot{m}_1 \left( h_1 + \frac{\vec{V}_1^2}{2} + \vec{g}z_1 \right) = \sum \dot{m}_2 \left( h_2 + \frac{\vec{V}_2^2}{2} + \vec{g}z_2 \right) + \dot{\vec{W}} e \dot{m}_1 = \dot{m}_2 = \dot{m}$$



$$\eta_{bocal} = \frac{\text{EC real na saída do bocal}}{\text{EC isoentrópica na saída do bocal}} = \frac{h_1 - h_2}{h_1 - h_{2s}}$$

• O empuxo desenvolvido por um turbojato é a força resultante da diferença entre as quantidades de movimento dos gases de exaustão à alta velocidade que deixam o motor e do ar à baixa velocidade que entra no motor, sendo determinado pela segunda lei de Newton:

$$F_{empuxo} = (\dot{m}V)_{saida} - (\dot{m}V)_{entrada} = \dot{m}(V_{saida} - V_{entrada})$$

• A potência decorrente do empuxo do avião (potência de propulsão) é o produto entre a força de empuxo e a distância ao longo da qual essa força age sobre o avião por unidade de tempo:

$$\dot{W}_P = F_{empuxo} V_{avi\tilde{a}o} = \dot{m} (V_{saida} - V_{entrada}) V_{avi\tilde{a}o} \text{ (usualmente, } V_{entrada} = V_{avi\tilde{a}o})$$

• Define-se uma eficiência de propulsão a relação entre a potência de propulsão e a taxa de calor fornecido pela queima do combustível, ou seja:

$$\eta_P = \frac{\text{Potência de propulsão}}{\text{Taxa de entrada de energia}} = \frac{\dot{W}_P}{\dot{Q}_e}$$

- Uma modificação bastante utilizada em turbojatos é a inclusão de um pósqueimador (afterburner).
- É essencialmente um equipamento de reaquecimento no qual uma quantidade adicional de combustível é injetada no gás que está deixando a turbina.
- O efeito resultante é um aumento da temperatura do fluido na entrada do bocal, aumentando sua velocidade na saída do bocal, resultando em um aumento do empuxo.

